

LEISTUNGSERKLÄRUNG

DoP 0311

für fischer Betonschraube UltraCut FBS II

DE

- | | |
|---|--|
| 1. <u>Eindeutiger Kenncode des Produkttyps:</u> | DoP 0311 |
| 2. <u>Verwendungszweck(e):</u> | Nachträgliche Befestigung in Mauerwerk, siehe Anhang, insbesondere die Anhänge B1 - B8. |
| 3. <u>Hersteller:</u> | fischerwerke GmbH & Co. KG, Klaus-Fischer-Str. 1, 72178 Waldachtal, Deutschland |
| 4. <u>Bevollmächtigter:</u> | – |
| 5. <u>AVCP - System/e:</u> | 1 |
| 6. <u>Europäisches Bewertungsdokument:</u> | EAD 330460-00-0604, Edition 04/2022 |
| Europäische Technische Bewertung: | ETA-20/0134; 2022-07-14 |
| Technische Bewertungsstelle: | DIBt- Deutsches Institut für Bautechnik |
| Notifizierte Stelle(n): | 2873 TU Darmstadt |

7. Erklärte Leistung(en):

Mechanische Festigkeit und Standsicherheit (BWR 1)

Charakteristischer Widerstand gegen Stahlversagen eines einzelnen Schraubankers unter Zugbeanspruchung: siehe Anhang, insbesondere Anhang C1

Charakteristischer Widerstand gegen Stahlversagen eines einzelnen Schraubankers unter Querkzugbeanspruchung: siehe Anhang, insbesondere Anhang C1

Charakteristischer Widerstand gegen Herausziehen eines einzelnen Schraubankers oder Ausbruch des Mauersteins unter Zugbeanspruchung: siehe Anhang, insbesondere die Anhänge B6,B7,C2,C3,C5,C6,C8,C9,C11,C12

Charakteristischer Widerstand gegen örtliches Versagen oder Kantenbruch des Mauersteins eines Einzelschraubankers unter Querkzugbeanspruchung: siehe Anhang, insbesondere die Anhänge B6,B7,C2,C3,C5,C6,C8,C9,C11,C12

Charakteristischer Widerstand gegen Ausbruch des Mauersteins einer Schraubdübelgruppe unter Zugbeanspruchung: siehe Anhang, insbesondere die Anhänge B6,B7,C2,C5,C8,C11

Charakteristischer Widerstand gegen örtliches Versagen oder Kantenbruch des Mauersteins einer Schraubdübelgruppe unter Querkzugbeanspruchung: siehe Anhang, insbesondere die Anhänge B6,B7,C2,C5,C8,C11

Randabstand, Abstand zur Fuge, Achsabstand, Mauersteindicke: siehe Anhang, insbesondere die Anhänge B6,B7,C2,C5,C8,C11

Charakteristischer Widerstand unter kombinierter Zug- und Querkzugbeanspruchung (Hohl- und Lochsteine): siehe Anhang, insbesondere Anhang C12

Verschiebungen: siehe Anhang, insbesondere die Anhänge C3, C6, C9, C12

Sicherheit im Brandfall (BWR 2)

Brandverhalten: Klasse (A1)

Feuerwiderstand: siehe Anhang, insbesondere die Anhänge C4, C7, C10

Dauerhaftigkeit:

Dauerhaftigkeit: siehe Anhang, insbesondere die Anhänge A3, B1

8. Angemessene Technische Dokumentation und/oder

Spezifische Technische Dokumentation:

Die Leistung des vorstehenden Produkts entspricht der erklärten Leistung/den erklärten Leistungen. Für die Erstellung der Leistungserklärung im Einklang mit der Verordnung (EU) Nr. 305/2011 ist allein der obengenannte Hersteller verantwortlich.

Unterschiedet für den Hersteller und im Namen des Herstellers von:



Dr.-Ing. Oliver Geibig, Geschäftsführer Business Units & Engineering
Tumlingen, 2022-07-28



Jürgen Grün, Geschäftsführer Chemie & Qualität

Diese Leistungserklärung wurde in mehreren Sprachen erstellt. Für alle Streitigkeiten, die sich aus der Auslegung ergeben, ist die Fassung in englischer Sprache maßgeblich.

Der Anhang enthält freiwillige und ergänzende Informationen in englischer Sprache, die über die (sprachneutral festgelegten) gesetzlichen Anforderungen hinausgehen.

Translation guidance Essential Characteristics and Performance Parameters for Annexes
Übersetzungshilfe der Wesentlichen Merkmale und Leistungsparameter für Annexes

Mechanical resistance and stability (BWR 1)

Mechanische Festigkeit und Standsicherheit (BWR 1)

| | | |
|--|--|--|
| 1 | Characteristic resistance to steel failure of a single screw anchor under tension loading: Charakteristischer Widerstand gegen Stahlversagen eines einzelnen Schraubankers unter Zugbeanspruchung: | $N_{Rk,s}$ |
| 2 | Characteristic resistance to steel failure of a single screw anchor under shear loading: Charakteristischer Widerstand gegen Stahlversagen eines einzelnen Schraubankers unter Querkzugbeanspruchung: | $V_{Rk,s}; M^0_{Rk,s}$ |
| 3 | Characteristic resistance to pull-out failure or brick breakout failure of a single screw anchor under tension loading: Charakteristischer Widerstand gegen Herausziehen eines einzelnen Schraubankers oder Ausbruch des Mauersteins unter Zugbeanspruchung: | $N_{Rk,p}; N_{Rk,b}; N_{Rk,p,c}; N_{Rk,b,c}; \alpha_{j,N}$ |
| 4 | Characteristic resistance to local brick failure and brick edge failure of a single screw anchor under shear loading: Charakteristischer Widerstand gegen örtliches Versagen oder Kantenbruch des Mauersteins eines Einzelschraubankers unter Querbeanspruchung: | $V_{Rk,b,II}; V_{Rk,b,\perp}; V_{Rk,c,II}; V_{Rk,c,\perp}; \alpha_{j,VII}; \alpha_{j,V\perp}; \alpha_{j,VII}; \alpha_{j,V\perp}$ |
| 5 | Characteristic resistance to brick breakout failure of a screw anchor group under tension loading: Charakteristischer Widerstand gegen Ausbruch des Mauersteins einer Schraubdübelgruppe unter Zugbeanspruchung: | $N_{Rk}^g; \alpha_{g,N}$ |
| 6 | Characteristic resistance to local brick failure and brick edge failure of a screw anchors group under shear loading: Charakteristischer Widerstand gegen örtliches Versagen oder Kantenbruch des Mauersteins einer Schraubdübelgruppe unter Querbeanspruchung: | $V_{Rk,b,II}^g; V_{Rk,b,\perp}^g; V_{Rk,c,II}^g; V_{Rk,c,\perp}^g; \alpha_{g,VII}; \alpha_{g,VII\perp}$ |
| 7 | Edge distances, joint distances, spacing, member thickness: Randabstand, Abstand zur Fuge, Achsabstand, Mauersteindicke: | $c_{cr}; s_{cr,II}; s_{cr,\perp}; c_{min}; c_{j,II}; c_{j,\perp}; s_{min,II}; s_{min,\perp}; h_{min}$ |
| 8 | Resistance to combined tension and shear loading (hollow and perforated bricks): Charakteristische Widerstand unter kombinierter Zug- und Querkzugbeanspruchung (Hohl- und Lochsteine): | X |
| 9 | Displacements: Verschiebungen: | $\delta_{N0}; \delta_{N\infty}; \delta_{V0}; \delta_{V\infty}$ |
| Safety in case of fire (BWR 2) | | |
| Sicherheit im Brandfall (BWR 2) | | |
| 10 | Reaction to fire: Brandverhalten: | Class Klasse (A1) |
| 11 | Resistance to fire: Feuerwiderstand: | $N_{Rk,s,fi}; N_{Rk,p,fi}; N_{Rk,b,fi}; N_{Rk,fi}^g; V_{Rk,s,fi}; M^0_{Rk,s,fi}; c_{min,fi}; s_{min,fi}; c_{j,fi}$ |
| Other essential characteristics linked with the Basic Work Requirements | | |
| Weitere wesentliche Merkmale im Zusammenhang mit den Grundanforderungen | | |
| 12 | Durability: Dauerhaftigkeit: | - |

Besonderer Teil

1 Technische Beschreibung des Produkts

Die Fischer Betonschraube ULTRACUT FBS II ist ein Dübel in den Größen 6, 8, und 10 mm aus gehärtetem Kohlenstoffstahl (FBS II, FBS II CP) oder nichtrostendem Stahl mit gehärteter Spitze (FBS II R). Der Dübel wird in ein vorgebohrtes zylindrisches Bohrloch geschraubt. Das Spezialgewinde schneidet während des Setzvorgangs ein Innengewinde in den Verankerungsgrund. Die Verankerung erfolgt durch Formschluss des Spezialgewindes.

Die Produktbeschreibung ist in Anhang A angegeben.

2 Spezifizierung des Verwendungszwecks gemäß dem anwendbaren Europäischen Bewertungsdokument

Von den Leistungen in Abschnitt 3 kann nur ausgegangen werden, wenn der Dübel entsprechend den Angaben und unter den Randbedingungen nach Anhang B verwendet wird.

Die Prüf- und Bewertungsmethoden, die dieser Europäischen Technischen Bewertung zu Grunde liegen, führen zur Annahme einer Nutzungsdauer des Dübels von mindestens 50 Jahren. Die Angabe der Nutzungsdauer kann nicht als Garantie des Herstellers verstanden werden, sondern ist lediglich ein Hilfsmittel zur Auswahl des richtigen Produkts in Bezug auf die angenommene wirtschaftlich angemessene Nutzungsdauer des Bauwerks.

3 Leistung des Produkts und Angaben der Methoden ihrer Bewertung

3.1 Mechanische Festigkeit und Standsicherheit (BWR 1)

| Wesentliches Merkmal | Leistung |
|---|-------------------------------------|
| Charakteristischer Widerstand eines einzelnen Schraubankers gegen Stahlversagen unter Zugbeanspruchung | Siehe Anhang C 1 |
| Charakteristischer Widerstand eines einzelnen Schraubankers gegen Stahlversagen unter Querbeanspruchung | Siehe Anhang C 1 |
| Charakteristischer Widerstand eines einzelnen Schraubankers gegen Herausziehen oder Ausbruch des Mauersteins unter Zugbeanspruchung | Siehe Anhang C 2 - C 12 |
| Charakteristischer Widerstand eines einzelnen Schraubankers gegen örtliches Versagen oder Kantenbruch des Mauersteins unter Querbeanspruchung | Siehe Anhang C 2 - C 12 |
| Charakteristischer Widerstand einer Schraubankergruppe gegen Ausbruch des Mauersteins unter Zugbeanspruchung | Siehe Anhang C 2, C 5, C 8 und C 11 |
| Charakteristischer Widerstand einer Schraubankergruppe gegen örtliches Versagen oder Kantenbruch des Mauersteins unter Querbeanspruchung | Siehe Anhang C 2, C 5, C 8 und C 11 |
| Randabstand, Abstand zur Fuge, Achsabstand, Mauersteindicke | Siehe Anhang C 2, C 5, C 8 und C 11 |
| Charakteristischer Widerstand unter kombinierter Zug- und Querbeanspruchung (Hohl- und Lochsteine) | Siehe Anhang C 12 |
| Verschiebungen | Siehe Anhang C 3, C 6, C 9 and C 12 |

3.2 Brandschutz (BWR 2)

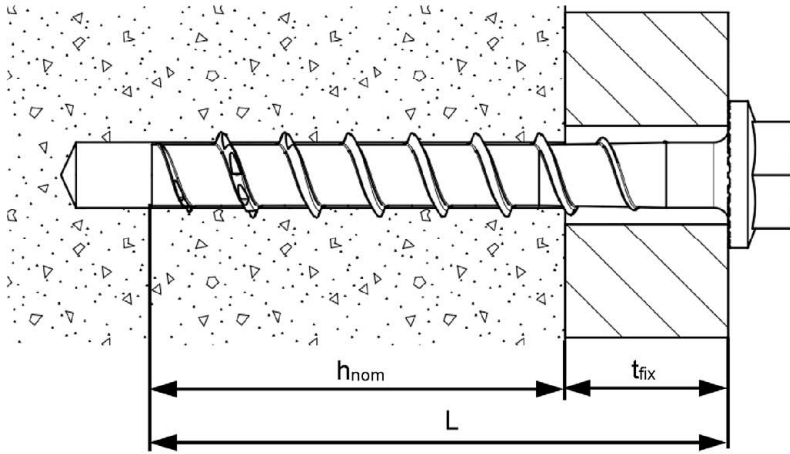
| Wesentliches Merkmal | Leistung |
|----------------------|--------------------------------|
| Brandverhalten | Klasse A1 |
| Feuerwiderstand | Siehe Anhang C 4, C 7 und C 10 |

4 Angewandtes System zur Bewertung und Überprüfung der Leistungsbeständigkeit mit der Angabe der Rechtsgrundlage

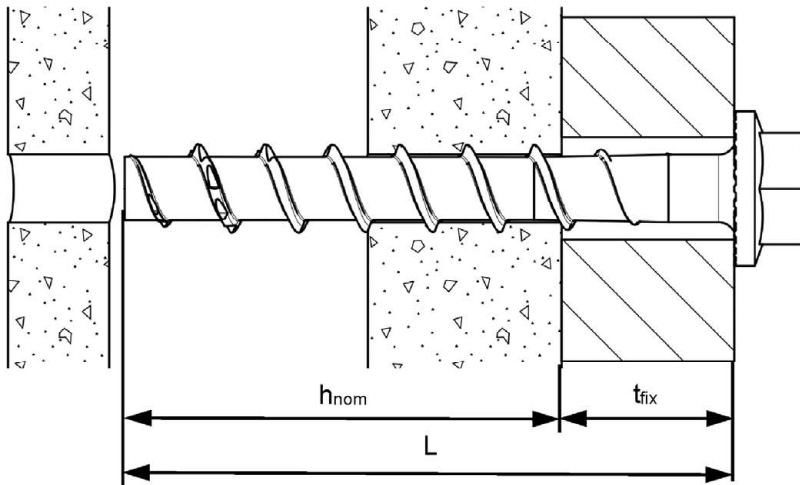
Gemäß dem Europäischen Bewertungsdokument EAD Nr. 330460-00-0604 gilt folgende Rechtsgrundlage: [97/177/EG].

Folgendes System ist anzuwenden: 1

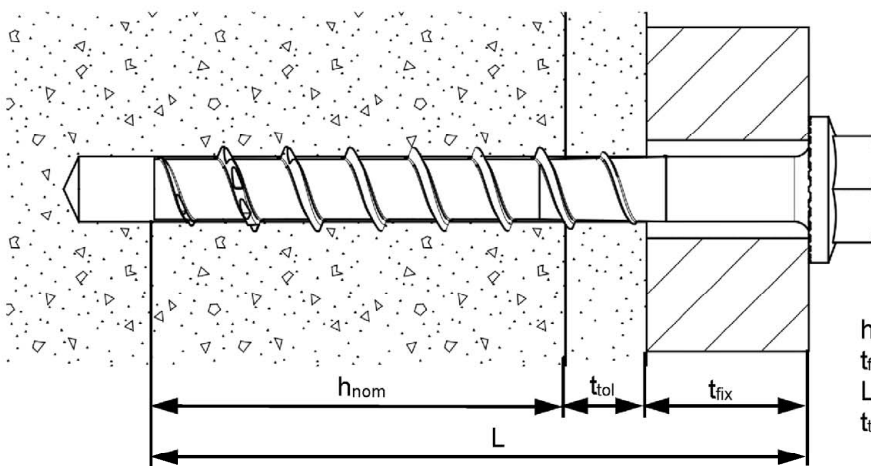
Produkt im Einbauzustand



FBS II US im Vollbaustoff



FBS II US im Lochbaustoff



FBS II US mit nichttragender Schicht (Vollbaustoff oder Lochbaustoff)

h_{nom} Nominelle Verankerungstiefe
 t_{fix} Dicke des Anbauteils
 L Schraubenlänge
 t_{tol} Dicke der nichttragenden Schicht

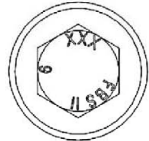
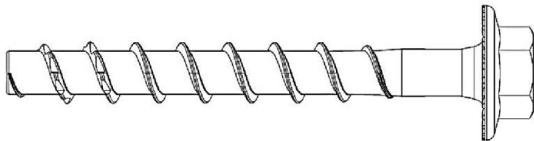
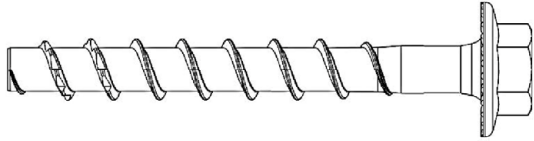
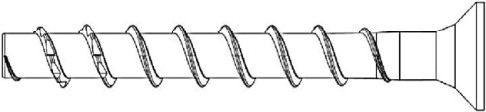
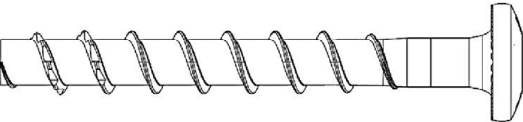
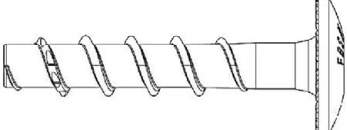
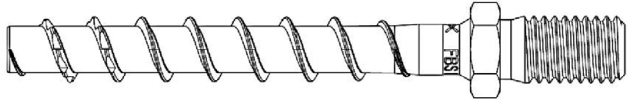
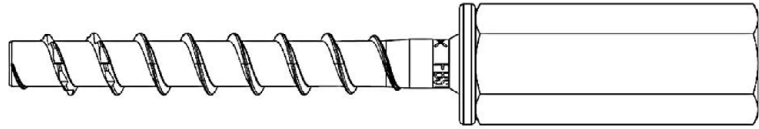
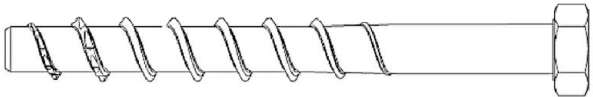
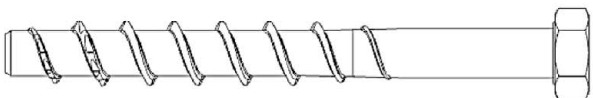
(Abbildungen nicht maßstäblich)

fischer Betonschraube UltraCut FBS II, FBS II CP, FBS II R
zur Verankerung im Mauerwerk

Produktbeschreibung
Produkt im Einbauzustand

Anhang A 1
Anhang 3 / 25

Tabelle A2.1: Kopfformen FBS II

| | | |
|---|---|--|
| <p>Sechskantkopf mit angeformter Unterlegscheibe (US) Größe 6-10</p> |  |  |
| <p>Sechskantkopf mit angeformter Unterlegscheibe und TX-Antrieb (US TX) Größe 6-10</p> |  |  |
| <p>Senkkopf (SK) Größe 6-10</p> |  |  |
| <p>Linsenkopf (P) Größe 6</p> |  |  |
| <p>Linsenkopf groß (LP) Größe 6</p> |  |  |
| <p>Metrisches Außengewinde M8 oder M10 (M) Größe 6</p> |  |  |
| <p>Sechskantmuffe mit metrischem Innengewinde (I) Größe 6</p> |  |  |
| <p>Sechskantkopf (S) Größe 8-10</p> |  |  |
| <p>Sechskantkopf mit TX-Antrieb (S TX) Größe 8-10</p> |  |  |

(Abbildungen nicht maßstäblich)

fischer Betonschraube UltraCut FBS II, FBS II CP, FBS II R zur Verankerung im Mauerwerk

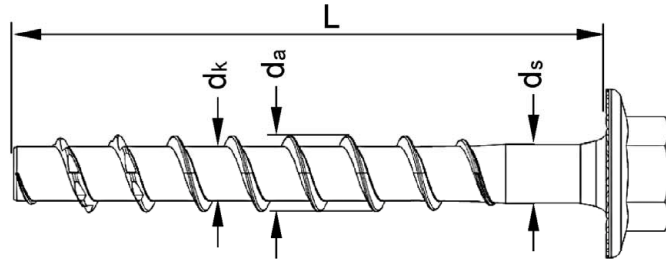
Produktbeschreibung
Schraubentypen

Anhang A 2
Anhang 4 / 25

Tabelle A3.1: Geometrie und Werkstoff

| Schraubentyp / Größe | | Alle Kopfformen | | | |
|-----------------------------|-------|-----------------|---|--|------|
| | | 6 | 8 | 10 | |
| Gewindeaußendurchmesser | d_a | [mm] | 7,75 | 10,3 | 12,5 |
| Kerndurchmesser | d_k | | 5,65 | 7,4(7,5 ¹⁾) | 9,4 |
| Schaftdurchmesser | d_s | | 6,0 | 8,0 | 9,9 |
| Werkstoff FBS II, FBS II CP | | [-] | Gehärteter Kohlenstoffstahl; $A_5 \geq 8\%$ | | |
| Werkstoff FBS II R | | | - | Spitze: gehärteter, nichtrostender Stahl; Schaft und Kopf: nichtrostender Stahl | |
| Beschichtung FBS II | | | Verzinkt | | |
| Beschichtung FBS II CP | | | - | Mehrlagige Korrosionsschutzschicht | |

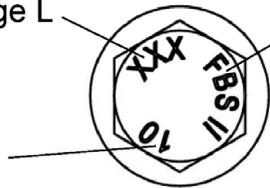
¹⁾ Werte für FBS II R



Prägung bei US, US TX, S, S TX, SK, P, LP

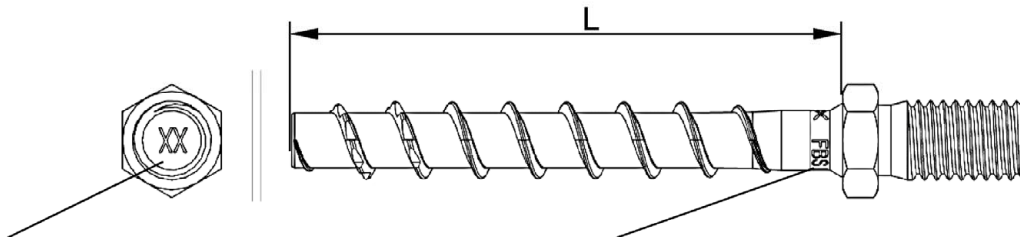
XXX: Schraubenlänge L

z.B. FBS II: Produktkennzeichnung (FBS II, FBS II CP, FBS II R)



z.B. 10:
Schraubengröße

Prägungen bei M8, M10, I



Stirnprägung:
XX: Schraubenlänge L

Umlaufende Prägung:
FBS II 6: Produktkennzeichnung

(Abbildungen nicht maßstäblich)

fischer Betonschraube UltraCut FBS II, FBS II CP, FBS II R
zur Verankerung im Mauerwerk

Produktbeschreibung
Geometrie und Kennzeichnung

Anhang A 3
Anhang 5 / 25

Angaben zum Verwendungszweck

Beanspruchung der Verankerung:

- Statische und quasi-statische Zugbelastung, Querbelastung oder kombinierte Zug- und Querbelastung oder Biegung
- Anforderung an den Feuerwiderstand (ausschließlich in trockenem Mauerwerk)

Verankerungsgrund:

- Mauerwerk aus Vollsteinen siehe Anhang C2, C5 und C8
- Mauerwerk aus Lochsteinen siehe Anhang C11
- Minimale Bauteildicke entsprechend Steinbreite (siehe Anhang C2, C5, C8 und C11)
- Lagerfugen müssen vollständig mit Mörtel mindestens der Druckfestigkeitsklasse M2,5 gemäß EN 998-2:2016 vermörtelt sein. Stoßfugen können, müssen aber nicht vermörtelt sein.
- Im Brandfall müssen alle Fugen vollständig mit Mörtel mindestens der Druckfestigkeitsklasse M2,5 gemäß EN 998-2:2016 vermörtelt sein.
- Trockenes oder nasses Mauerwerk

Anwendungsbedingungen (Umweltbedingungen):

- **FBS II, FBS II CP, FBS II R:** Bauteile unter den Bedingungen trockener Innenräume
- **FBS II R:** Bedingungen gemäß EN 1993-1-4:2006 + A1:2015 entsprechend der Korrosionsbeständigkeitsklasse CRC III
- Temperaturbereich des Mauerwerks über die Einsatzdauer: -40°C bis +80°C

fischer Betonschraube UltraCut FBS II, FBS II CP, FBS II R
zur Verankerung im Mauerwerk

Verwendungszweck
Bedingungen

Anhang B 1
Anhang 6 / 25

Bemessung:

- Die Bemessung der Verankerung erfolgt in Übereinstimmung mit EOTA Technical Report TR 054:2021-05, Bemessungsmethode A unter der Verantwortung eines auf dem Gebiet der Verankerungen und des Mauerwerks erfahrenen Ingenieurs.
- Schraubengröße D6 darf bei einer nominellen Verankerungstiefe < 50 mm nur für Verankerungen von statisch unbestimmten Systemen verwendet werden.
- Unter Berücksichtigung des im Bereich der Verankerung vorhandenen Mauerwerks, den zu verankernden Lasten sowie der Weiterleitung dieser Lasten im Mauerwerk sind prüfbare Berechnungen und Konstruktionszeichnungen anzufertigen. Auf den Konstruktionszeichnungen ist die Lage der Dübel anzugeben.
- Die Schraube darf nur in der Wandseite des Mauerwerks gesetzt werden.
- Für Vollsteine gelten die charakteristischen Tragfähigkeiten auch für größere Steinformate, größere Druckfestigkeiten und größere Rohdichten der Mauersteine.
- Für die Berechnung für das Herausziehen eines Steines unter Zuglast $N_{Rk,pb}$ oder das Herausdrücken eines Steines unter Querlast $V_{Rk,pb}$ siehe EOTA Technical Report TR 054:2021-05.
- Bei Fugenbreiten $w_j > 3$ mm ist keine Montage in der Fuge und fugennah möglich, die Abstände zu Fugen c_j gemäß Anhang B 6 sind einzuhalten.
- Bei Fugenbreiten $w_j \leq 3$ mm ist die Montage in der Fuge und fugennah möglich, wenn die Fugenfaktoren gemäß Anhang C berücksichtigt werden. Lagerfugen müssen vollständig vermörtelt sein. Stoßfugen können, müssen aber nicht vermörtelt sein.

Montage:

- Die Überbrückung von nichttragenden Schichten (z.B. Putz) ist möglich. Bei der Auswahl der Schraubenlänge L ist die Dicke der Putzschicht t_{tol} zu berücksichtigen. $L \geq h_{nom} + t_{tol} + t_{fix}$ (siehe Abbildungen im Anhang A1)
- Bei der Montage sind die vom Planer vorgegebenen Fugen-, Achs- und Randabstände zu berücksichtigen. Die Montage in Fugen > 3 mm ist nicht zulässig.
- Die Bohrlocherstellung erfolgt mittels Hammerbohren oder Drehbohren mit Standard-Hammerbohrern oder Hohlbohrern (gemäß Angaben im Anhang C). Das Mauerwerk darf beim Hammerbohren nicht beschädigt werden. Sollten Risse beim Bohren auftreten, muss der Drehgang verwendet werden. In diesem Fall muss das Bohrloch verworfen werden.
- Im Fall von Fehlbohrungen sind diese mit hochfestem Mörtel zu vermörteln.
- Die Reinigung des Bohrlochs ist nicht notwendig, wenn nach Erreichen der erforderlichen Bohrtiefe der Bohrer mindestens 3x gemäß Anhang B5 gelüftet wird oder wenn ein Hohlbohrer mit korrekt funktionierender Absaugung verwendet wird.
- Einbau der Schraube durch entsprechend geschultes Personal unter der Aufsicht des Bauleiters.

fischer Betonschraube UltraCut FBS II, FBS II CP, FBS II R
zur Verankerung im Mauerwerk

Verwendungszweck
Bemessung und Montage

Anhang B 2

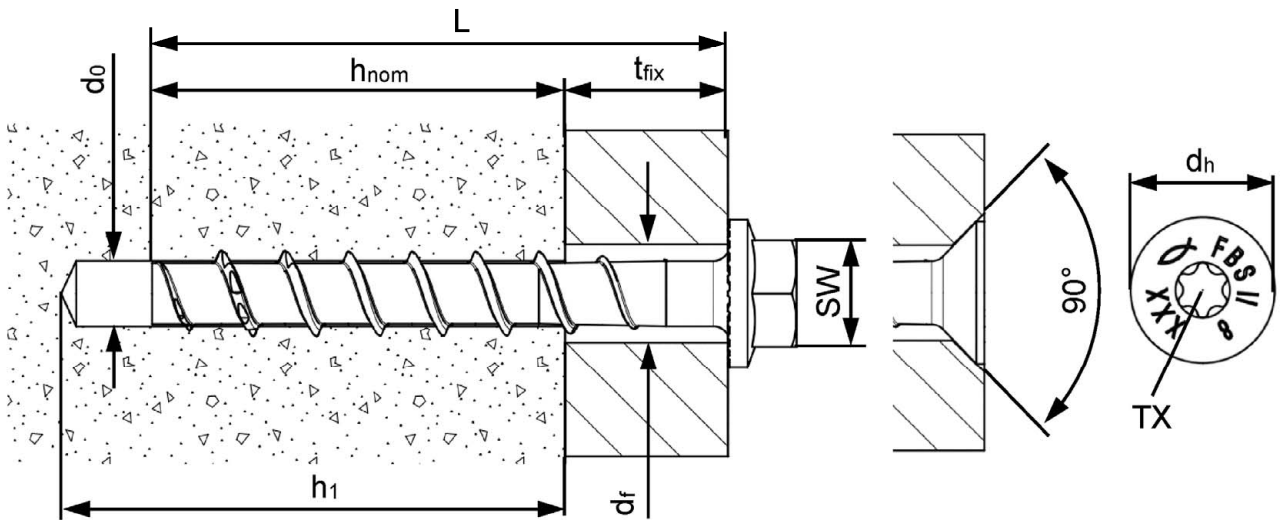
Anhang 7 / 25

Tabelle B3.1: Montagekennwerte

| Schraubengröße | | FBS II | | |
|---------------------------------|----------------|--|-------------|-------------|
| | | 6 | 8 | 10 |
| Nominelle Verankerungstiefe | h_{nom} | ≥ 40 | ≥ 50 | ≥ 55 |
| Bohrernennendurchmesser | d_0 | 6 | 8 | 10 |
| Bohrerschneiden- durchmesser | $d_{cut} \leq$ | 6,45 | 8,45 | 10,45 |
| Durchgangsloch im Anbauteil | d_f | ≤ 8 | $\leq 12,0$ | $\leq 14,0$ |
| Schlüsselweite (US, S, M, I) | SW | 10/13 | 13 | 15 |
| Tx Größe (US TX, SK, L, LP) | TX | 30 | 40 | 50 |
| Durchmesser Senkkopf | d_h | 13,5 | 18 | 21 |
| Bohrlochtiefe | h_1 | $\geq L - t_{fix} - t_{tol}^{(2)} + 10 \text{ mm}$ | | |
| Dicke des Anbauteils | t_{fix} | $\leq L - h_{nom} - t_{tol}^{(2)}$ | | |
| Schraubenlänge | $L_{min} =$ | 40 | 50 | 55 |
| | $L_{max} =$ | 325 (55 ¹⁾) | 400 | 405 |

1) Werte für Kopfformen M und I

2) Für Montage mit nichttragenden Schichten siehe Bild 3 in Anhang A 1



(Abbildungen nicht maßstäblich)

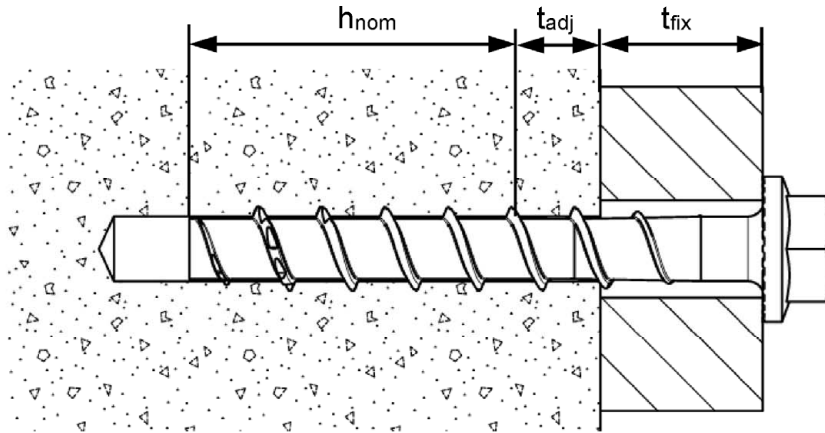
fischer Betonschraube UltraCut FBS II, FBS II CP, FBS II R
zur Verankerung im Mauerwerk

Verwendungszweck
Montagekennwerte

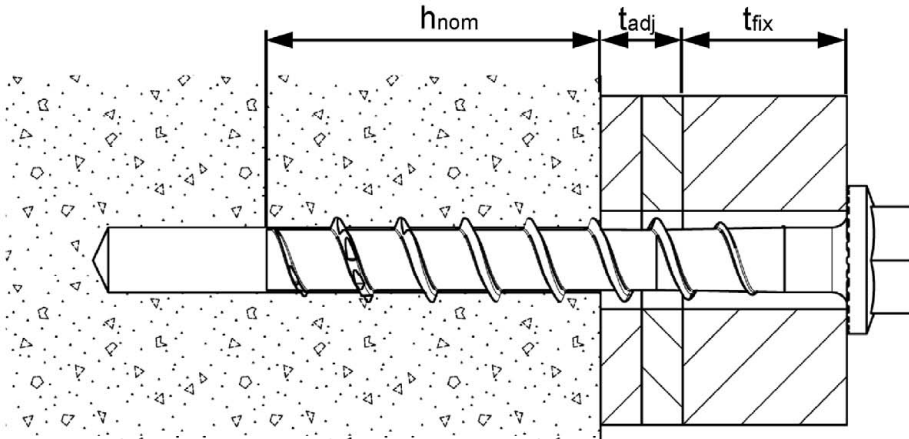
Anhang B 3
Anhang 8 / 25

Justierungsprozess

Einbauzustand vor Justierung



Einbauzustand nach Justierung



(Abbildungen nicht maßstäblich)

Es ist zulässig, die Schraube bis zu zwei Mal zum Justieren zu lösen.

Hierfür kann die Schraube bis zu einem Maximum von $L_{adj} = 20$ mm von der Oberfläche des Ausgangsanbauteils gelöst werden. Die insgesamt zulässige Dicke der während des Justierprozesses eingefügten Unterfütterung beträgt $t_{adj} = 10$ mm.

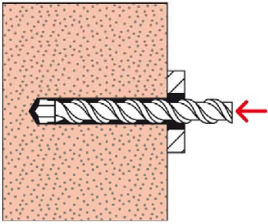
Die rechnerisch erforderliche Einbindetiefe h_{nom} im tragenden Mauerwerk muss auch nach der Justage eingehalten sein.

fischer Betonschraube UltraCut FBS II, FBS II CP, FBS II R
zur Verankerung im Mauerwerk

Verwendungszweck
Justierung

Anhang B 4
Anhang 9 / 25

Montageanleitung



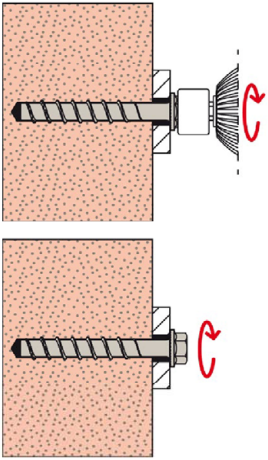
Schritt 1: Bohrlocherstellung:

Bohrloch unter Verwendung eines Standard - Hammerbohrers oder eines Hohlbohrers erstellen. Die vom Planer vorgegebenen Fugen-, Achs- und Randabstände sind zu berücksichtigen.

Beim Standard - Hammerbohrer ist nach dem Erreichen der erforderlichen Bohrlochtiefe der Bohrer bei laufender Maschine mindestens 3x bis zum Bohrlochgrund einzubringen und wieder aus dem Bohrloch herauszuziehen (Bohrloch „lüften“).

Bohrlochdurchmesser d_0 und Bohrlochtiefe h_1 gemäß Tabelle B3.1.

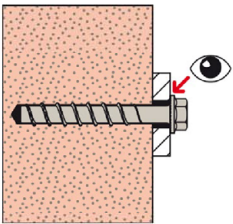
Bohrverfahren (Hammerbohren / Drehbohren) gemäß Angaben im Anhang C.



Schritt 2: Einbau:

Montage mit üblichen Schraubwerkzeugen (Akkuschrauber, Ratsche, Schraubendreher). Das hierbei nach Kopfanlage aufgebrachte Anzugmoment darf das maximale Installationsmoment ($\max T_{inst}$ nach Angaben im Anhang C) nicht überschreiten.

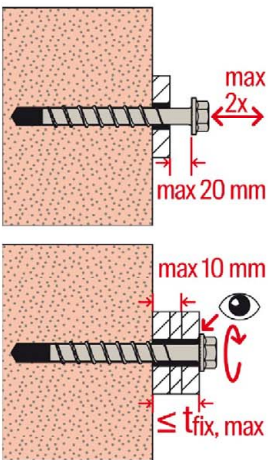
Alternativ: Montage mit einem beliebigen Tangential - Schlagschrauber bis zum maximal genannten Geräte - Drehmoment $T_{imp,max}$ nach Angaben im Anhang C. Empfohlener Tangential - Schlagschrauber: FSS 18V 400 BL gemäß Anhang B 8 auf geeigneter Leistungsstufe nach Angaben im Anhang C.



Schritt 3: Überprüfung des korrekten Einbaus:

Nach der Montage darf ein Weiterdrehen über $\max T_{inst}$ der Schraube nicht möglich sein. Das maximale Installationsmoment ($\max T_{inst}$ nach Angaben im Anhang C) darf bei einer Überprüfung nicht überschritten werden.

Der Schraubenkopf muss auf dem Anbauteil aufliegen und darf nicht beschädigt sein.



Justierung:

Optional:

Die Schraube darf gemäß Anhang B 4 justiert werden.

Im Zuge der Justierung darf die Schraube um maximal $L_{adj} = 20\text{mm}$ herausgeschraubt werden.

Die maximale Unterfütterung $t_{adj} = 10\text{mm}$ darf dabei nicht überschritten werden.

fischer Betonschraube UltraCut FBS II, FBS II CP, FBS II R
zur Verankerung im Mauerwerk

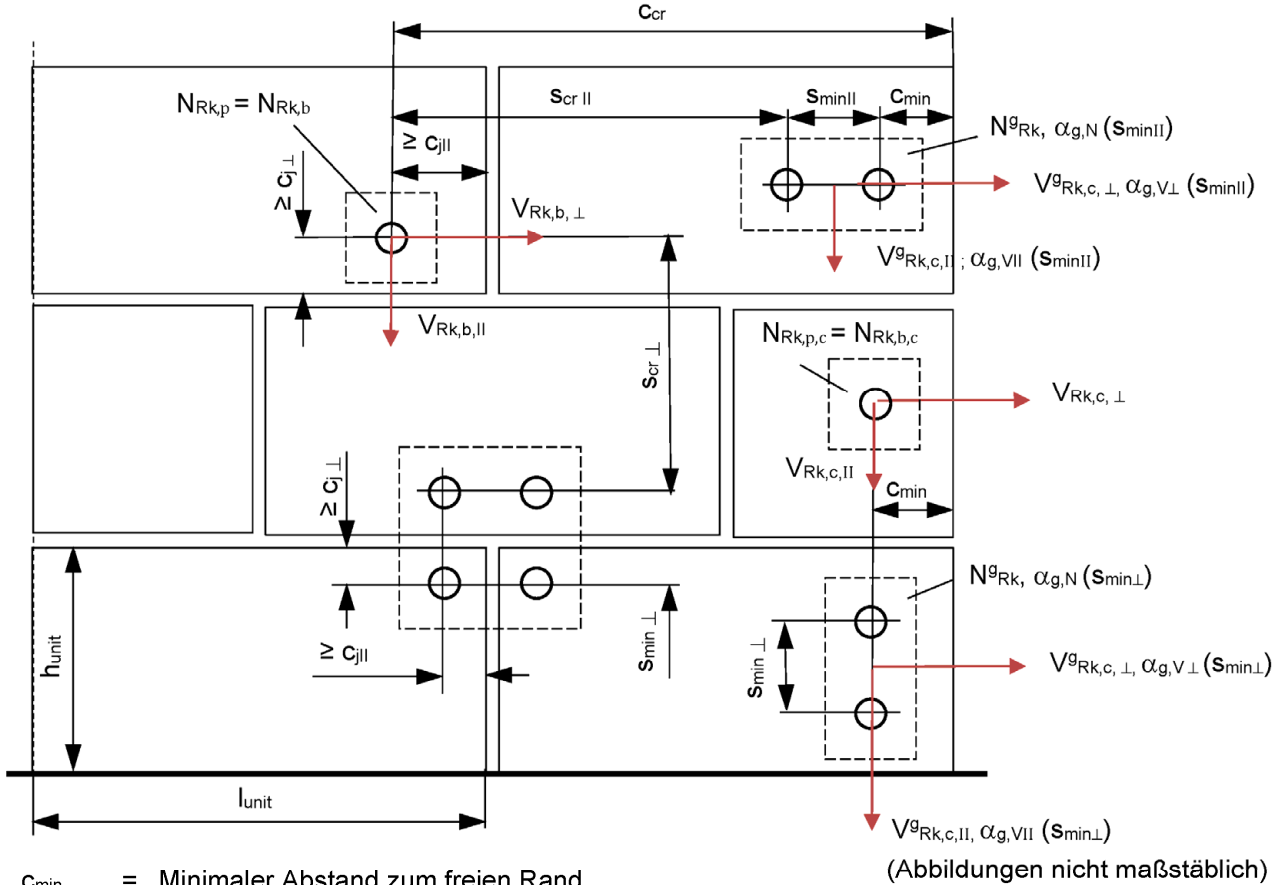
Verwendungszweck
Montageanleitung

Anhang B 5

Anhang 10 / 25

Mögliche Montagepositionen bei Fugenbreite > 3 mm

Bei Fugenbreiten > 3 mm sind die Abstände c_j einzuhalten.



(Abbildungen nicht maßstäblich)

- C_{min} = Minimaler Abstand zum freien Rand
- $C_{j \parallel}$ = Abstand zu Stoßfugen für Tragfähigkeit des Schraubankers ohne Fugeneinfluss
- $C_{j \perp}$ = Abstand zu Lagerfugen für Tragfähigkeit des Schraubankers ohne Fugeneinfluss
- $S_{min \parallel}$ = Minimaler Achsabstand parallel zur Lagerfuge
- $S_{min \perp}$ = Minimaler Achsabstand senkrecht zur Lagerfuge
- C_{cr} = Randabstand zur Übertragung des charakteristischen Widerstandes des Schraubankers
- $S_{cr \parallel}$ = Charakteristischer Achsabstand parallel zur Lagerfuge
- $S_{cr \perp}$ = Charakteristischer Achsabstand senkrecht zur Lagerfuge
- l_{unit} = Steinlänge
- h_{unit} = Steinhöhe
- $\alpha_{g,N}$ = Gruppenfaktor bei Zuglast ($\alpha_{g,N} = \alpha_{g,N}(S_{min \parallel}) = \alpha_{g,N}(S_{min \perp})$)
- $\alpha_{g,V \parallel}$ = Gruppenfaktor bei Querlast parallel zur Kante ($\alpha_{g,V \parallel} = \alpha_{g,V \parallel}(S_{min \parallel}) = \alpha_{g,V \parallel}(S_{min \perp})$)
- $\alpha_{g,V \perp}$ = Gruppenfaktor bei Querlast senkrecht zur Kante ($\alpha_{g,V \perp} = \alpha_{g,V \perp}(S_{min \parallel}) = \alpha_{g,V \perp}(S_{min \perp})$)

$$N_{RK} = N_{RK,b} = N_{RK,p} = N_{RK,b,c} = N_{RK,p,c}$$

$$V_{RK, \parallel} = V_{RK,b, \parallel} = V_{RK,c, \parallel}; \quad V_{RK, \perp} = V_{RK,b, \perp} = V_{RK,c, \perp}$$

$$\text{Für } s \geq s_{cr}: \alpha_{g,N} = \alpha_{g,V \parallel} = \alpha_{g,V \perp} = 2$$

Für $s_{min} \leq s < s_{cr}$: $\alpha_{g,N}$; $\alpha_{g,V \parallel}$; $\alpha_{g,V \perp}$ entsprechend Montagekennwerte der Steine im Anhang C

$$N^g_{RK} = \alpha_{g,N} \cdot N_{RK} \quad (\text{Gruppe von 2 Ankern})$$

$$V^g_{RK, \parallel} = \alpha_{g,V \parallel} \cdot V_{RK, \parallel}; \quad V^g_{RK, \perp} = \alpha_{g,V \perp} \cdot V_{RK, \perp} \quad (\text{Gruppe von 2 Ankern})$$

$$N^g_{RK} = \alpha_{g,N}^2 \cdot N_{RK} \quad (\text{Gruppe von 4 Ankern})$$

$$V^g_{RK, \parallel} = \alpha_{g,V \parallel}^2 \cdot V_{RK, \parallel}; \quad V^g_{RK, \perp} = \alpha_{g,V \perp}^2 \cdot V_{RK, \perp} \quad (\text{Gruppe von 4 Ankern})$$

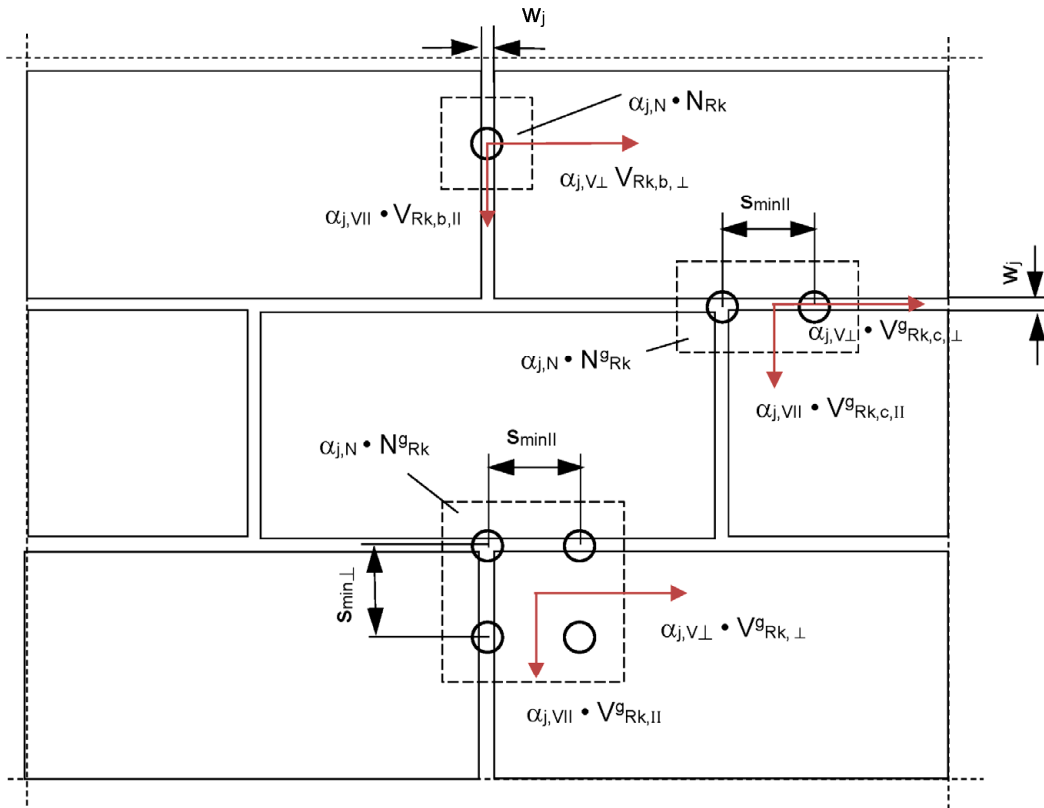
fischer Betonschraube UltraCut FBS II, FBS II CP, FBS II R zur Verankerung im Mauerwerk

Verwendungszweck
Mögliche Montagepositionen bei Fugenbreite > 3 mm

Anhang B 6
Anhang 11 / 25

Mögliche Montagepositionen bei Fugenbreite ≤ 3 mm

Die Fugenfaktoren auf dieser Seite, α_j nach Anhang C und die Gruppenfaktoren von Anhang B 6 sind zu berücksichtigen.



(Abbildungen nicht maßstäblich)

- w_j = Maximal zulässige Fugenbreite für Anwendungen unterhalb $c_{j,II}$, $c_{j,\perp}$. Die Fuge, in welche der Schraubanker montiert wird ist maßgeblich. Im Falle von Kreuzfugen ist die ungünstigere Fuge maßgeblich.
- $c_{j,II}$ = Abstand zu Stoßfugen für Tragfähigkeit des Schraubankers ohne Fugeneinfluss
- $c_{j,\perp}$ = Abstand zu Lagerfugen für Tragfähigkeit des Schraubankers ohne Fugeneinfluss
- $\alpha_{j,N}$ = Abminderungsfaktor unter Zuglast für Schraubanker unter Fugeneinfluss
- $\alpha_{j,V,II}$ = Abminderungsfaktor unter Querlast parallel zur Stoßfuge für Schraubanker unter Fugeneinfluss
- $\alpha_{j,V,\perp}$ = Abminderungsfaktor unter Querlast senkrecht zur Stoßfuge für Schraubanker unter Fugeneinfluss

$$N_{RK} = N_{RK,b} = N_{RK,p} = N_{RK,b,c} = N_{RK,p,c}$$

$$V_{RK,II} = V_{RK,b,II} = V_{RK,c,II}; \quad V_{RK,\perp} = V_{RK,b,\perp} = V_{RK,c,\perp}$$

Bei Setzpositionen mit Fugenabstand $c < c_{j,II}$, $c_{j,\perp}$ und $w_j \leq 3$ mm:

$$N_{j,RK} = \alpha_{j,N} \cdot N_{RK} \quad (\text{Einzelanker})$$

$$V_{j,RK,II} = \alpha_{j,V,II} \cdot V_{RK,II}; \quad V_{j,RK,\perp} = \alpha_{j,V,\perp} \cdot V_{RK,\perp} \quad (\text{Einzelanker})$$

$$N_{j^g,RK} = \alpha_{j,N} \cdot N_{j^g,RK} \quad (\text{Ankergruppe})$$

$$V_{j^g,RK,II} = \alpha_{j,V,II} \cdot V_{j^g,RK,II}; \quad V_{j^g,RK,\perp} = \alpha_{j,V,\perp} \cdot V_{j^g,RK,\perp} \quad (\text{Ankergruppe})$$

fischer Betonschraube UltraCut FBS II, FBS II CP, FBS II R
zur Verankerung im Mauerwerk

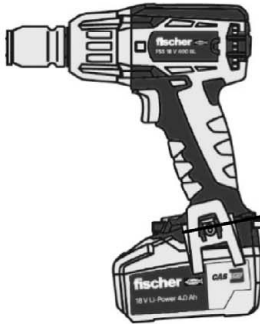
Verwendungszweck
Mögliche Montagepositionen bei Fugenbreite ≤ 3 mm

Anhang B 7
Anhang 12 / 25

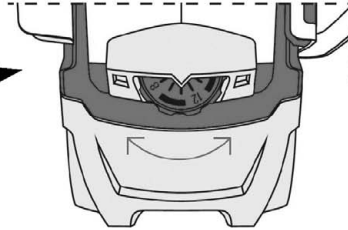
Systemzubehör

Beliebiger Tangential - Schlagschrauber mit maximalen Drehmoment $T_{\text{imp, max}}$ gemäß Angabe für den jeweiligen Stein nach Anhang C.

z.B. fischer Akku-Schlagschrauber FSS 18V 400 BL.



Einstellung der Leistungsstufe 1 bis 12 des FSS 18V 400 BL gemäß Angabe für den jeweiligen Stein nach Anhang C.



(Abbildungen nicht maßstäblich)

fischer Betonschraube UltraCut FBS II, FBS II CP, FBS II R
zur Verankerung im Mauerwerk

Verwendungszweck
Systemzubehör

Anhang B 8
Anhang 13 / 25

Tabelle C1.1: Charakteristische Werte gegen Stahlversagen von FBS II und FBS II CP

| Schraubengröße | | | FBS II | | |
|---|-----------------|------|-------------------|------|------|
| | | | FBS II, FBS II CP | | |
| | | | 6 | 8 | 10 |
| Stahlversagen für Zuglast und Querlast | | | | | |
| Charakteristischer Widerstand | $N_{RK,s}$ | [kN] | 21 | 35 | 55 |
| Teilsicherheitsbeiwert ¹⁾ | $\gamma_{Ms,N}$ | [-] | 1,4 | | |
| Charakteristischer Widerstand | $V_{RK,s}$ | [kN] | 9 | 13,1 | 29,4 |
| Teilsicherheitsbeiwert ¹⁾ | $\gamma_{Ms,V}$ | [-] | 1,5 | | |
| Charakt. Biegemoment | $M^0_{RK,s}$ | [Nm] | 17,1 | 51 | 95 |

Tabelle C1.2: Charakteristische Werte gegen Stahlversagen von FBS II R

| Schraubengröße | | | FBS II R | | |
|---|-----------------|------|----------------------------|------|------|
| | | | FBS II R | | |
| | | | 6 | 8 | 10 |
| Stahlversagen für Zuglast und Querlast | | | | | |
| Charakteristischer Widerstand | $N_{RK,s}$ | [kN] | Keine Leistung bewertet | 27,8 | 43,8 |
| Teilsicherheitsbeiwert ¹⁾ | $\gamma_{Ms,N}$ | [-] | | 1,5 | |
| Charakteristischer Widerstand | $V_{RK,s}$ | [kN] | | 18,0 | 13,2 |
| Teilsicherheitsbeiwert ¹⁾ | $\gamma_{Ms,V}$ | [-] | | 1,25 | |
| Charakt. Biegemoment | $M^0_{RK,s}$ | [Nm] | | 31,3 | 68,5 |

Tabelle C1.3: Angaben für die Justierung von FBS II, FBS II CP, FBS II R

| Schraubengröße | | | FBS II | | |
|-------------------------------|-----------|------|-----------------------------|---|----|
| | | | FBS II, FBS II CP, FBS II R | | |
| | | | 6 | 8 | 10 |
| Justierung | | | | | |
| max. Dicke der Unterfütterung | t_{adj} | [mm] | 10 | | |
| Max. Anzahl der Justierungen | n_a | [-] | 2 | | |

¹⁾ Falls keine abweichenden nationalen Regelungen existieren

fischer Betonschraube UltraCut FBS II, FBS II CP, FBS II R
zur Verankerung im Mauerwerk

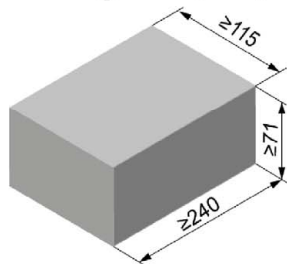
Leistungen

Leistung bei statischer und quasi-statischer Belastung für Stahlversagen, Angaben für die Justierung

Anhang C 1

Anhang 14 / 25

Vollziegel Mz, NF, EN 771-1:2011+A1:2015



| Vollziegel Mz, NF, EN 771-1:2011+A1:2015 | | | |
|--|-----------------------|-----------------------|----------|
| Hersteller | | z. B.: Wienerberger | |
| Nennmaße | [mm] | Länge L | Breite B |
| | | ≥ 240 | ≥ 115 |
| Dichte ρ | [kg/dm ³] | ≥ 1,8 | |
| Mittlere Druckfestigkeit / Mindestdruckfestigkeit Einzelstein ¹⁾ | [N/mm ²] | ≥ 15/12 | |
| Norm oder Anhang | | EN 771-1:2011+A1:2015 | |

¹⁾ Die Druckfestigkeit eines Einzelsteins darf 80% der mittleren Druckfestigkeit nicht unterschreiten

Tabelle C2.1: Montageparameter

| Schraubengröße | | 6 | 8 | 10 | |
|---|------------------------------|------|---------------|---------|---------|
| Allgemeine Montageparameter | | | | | |
| Nominelle Verankerungstiefe | h_{nom} | [mm] | ≥ 40 | ≥ 50 | ≥ 55 |
| Effektive Verankerungstiefe | h_{ef} | | ≥ 32 | ≥ 40 | ≥ 43 |
| Maximales Montagedrehmoment | $\max T_{inst}$ | [Nm] | 10 | 20 | 20 |
| Tangential - Schlagschrauber | $T_{imp,max}$ | | 80 | 80 | 80 |
| fischer Schlagschrauber FSS 18V 400 BL Stufe | | [-] | Stufe 1 | Stufe 1 | Stufe 1 |
| Achs- und Randabstände | | | | | |
| Minimaler Abstand zum freien Rand | c_{min} | [mm] | 50 | 60 | 70 |
| Minimaler Achsabstand | $s_{min II} = s_{min \perp}$ | | 80 | 80 | 80 |
| Charakteristischer Rand- und Achsabstand | c_{cr} | | 1,5 h_{nom} | | |
| | $s_{cr II} = s_{cr \perp}$ | | 3 h_{nom} | | |
| Bohrverfahren | | | | | |
| Bei Randabstand $\geq 1,5 h_{nom}$ Hammerbohren oder Drehbohren mit Standard-Hammerbohrer oder Hohlbohrer | | | | | |
| Bei Randabstand $< 1,5 h_{nom}$ ausschließlich Drehbohren mit Standard-Hammerbohrer oder Hohlbohrer. | | | | | |

Tabelle C2.2: Gruppenfaktoren

| Schraubengröße | | 6 | 8 | 10 | |
|----------------|--|-----|------|------|------|
| Gruppenfaktor | $\alpha_{g,N}$ | [-] | 2,0 | 2,0 | 2,0 |
| | $\alpha_{g,V II} = \alpha_{g,V \perp}$ | | 1,75 | 1,75 | 1,75 |

Tabelle C2.3: Abminderungsfaktoren in Abhängigkeit von Fugenabstand und Fugenbreite

| Schraubengröße | | 6 | 8 | 10 | 6 | 8 | 10 |
|----------------------|--|--|---|----|-------------------------|-----|-----|
| Maximale Fugenbreite | w_j | [mm] | | | [mm] | | |
| | | > 3 | | | ≤ 3 | | |
| Abstand zu Fugen | $c_{j \perp}$ | [mm] | | | [mm] | | |
| | $c_{j II}$ | ≥ 10 | | | ≥ 10 | | |
| Abminderungsfaktor | $\alpha_{j,N}$ | [-] | | | [-] | | |
| | $\alpha_{j,V II} = \alpha_{j,V \perp}$ | 1 (volle Tragfähigkeit) | | | 1 (volle Tragfähigkeit) | | |
| Abstand zu Fugen | $c_{j \perp}$ | [mm] | | | [mm] | | |
| | $c_{j II}$ | < 10 | | | < 10 | | |
| Abminderungsfaktor | $\alpha_{j,N}$ | [-] | | | [-] | | |
| | $\alpha_{j,V II} = \alpha_{j,V \perp}$ | 0 (Schraube darf nicht verwendet werden) | | | 0,5 | 0,5 | 0,5 |
| | | | | | 0,3 | 0,3 | 0,3 |

fischer Betonschraube UltraCut FBS II, FBS II CP, FBS II R zur Verankerung im Mauerwerk

Leistung
Vollziegel Mz NF, Abmessungen, Montageparameter, Abstände, Gruppenfaktoren und Abminderungsfaktoren für Fugen

Anhang C 2
Anhang 15 / 25

Vollziegel Mz, NF, EN 771-1:2011+A1:2015

Tabelle C3.1: Charakteristischer Widerstand gegen Herausziehen eines Einzelankers oder Ausbruch des Mauersteins unter Zugbeanspruchung

| Schraubengröße | | 6 | 8 | 10 |
|--|-------------------|---|-----|-----|
| Charakt. Widerstand unter Zugbeanspruchung in Abhängigkeit der mittleren Druckfestigkeit des Steins | | | | |
| Mittlere Druckfestigkeit / Mindestdruckfestigkeit Einzelstein ¹⁾ [N/mm ²] | Nutzungskategorie | $N_{Rk} = N_{Rk,p} = N_{Rk,b} = N_{Rk,p,c} = N_{Rk,b,c}$ [kN] | | |
| ≥ 15/12 | Nass | 1,3 | 1,1 | 1,1 |
| | Trocken | 1,9 | 1,6 | 1,4 |
| ≥ 20/16 | Nass | 1,6 | 1,3 | 1,3 |
| | Trocken | 2,1 | 1,9 | 1,6 |
| ≥ 22/17,5 | Nass | 1,6 | 1,3 | 1,4 |
| | Trocken | 2,3 | 2,0 | 1,7 |

¹⁾ Die Druckfestigkeit eines Einzelsteins darf 80% der mittleren Druckfestigkeit nicht unterschreiten.

Tabelle C3.2: Charakteristischer Widerstand gegen örtliches Versagen oder Kantenbruch des Mauersteins eines Einzelankers unter Querbeanspruchung

| Schraubengröße | | 6 | 8 | 10 | | | |
|---|-------------------|------------------|-----------------|------------------|-----------------|------------------|-----------------|
| Charakt. Widerstand unter Querbeanspruchung in Abhängigkeit der mittleren Druckfestigkeit des Steins | | | | | | | |
| Mittlere Druckfestigkeit / Mindestdruckfestigkeit Einzelstein ¹⁾ [N/mm ²] | Nutzungskategorie | $V_{Rk, }$ [kN] | $V_{Rk,⊥}$ [kN] | $V_{Rk, }$ [kN] | $V_{Rk,⊥}$ [kN] | $V_{Rk, }$ [kN] | $V_{Rk,⊥}$ [kN] |
| ≥ 15/12 | Nass oder Trocken | 1,2 | 0,8 | 4,8 | 1,4 | 4,4 | 2,5 |
| ≥ 20/16 | Nass oder Trocken | 1,4 | 1,0 | 5,6 | 1,7 | 5,1 | 2,9 |
| ≥ 22/17,5 | Nass oder Trocken | 1,4 | 1,0 | 5,8 | 1,7 | 5,3 | 3,0 |

¹⁾ Die Druckfestigkeit eines Einzelsteins darf 80% der mittleren Druckfestigkeit nicht unterschreiten.

Tabelle C3.3: Verschiebungen unter Zug- und Querbeanspruchung

| Schraubengröße | | 6 | 8 | 10 | |
|---|----------------------------|-------------|-----|------|-----|
| Verschiebungsfaktor unter Zugbeanspruchung | δ_{N0} -Faktor | [mm/ kN] | 0,1 | 0,15 | 0,2 |
| | $\delta_{N\infty}$ -Faktor | | 0,2 | 0,3 | 0,4 |
| Verschiebungsfaktor unter Querbeanspruchung | δ_{V0} -Faktor | | 3,0 | 1,0 | 1,0 |
| | $\delta_{V\infty}$ -Faktor | | 4,5 | 1,5 | 1,5 |

Berechnung der effektiven Verschiebung:

$$\delta_{N0} = \delta_{N0}\text{-Faktor} \times N \text{ [mm]}$$

$$\delta_{N\infty} = \delta_{N\infty}\text{-Faktor} \times N \text{ [mm]}$$

N = einwirkende Zuglast

$$\delta_{V0} = \delta_{V0}\text{-Faktor} \times V \text{ [mm]}$$

$$\delta_{V\infty} = \delta_{V\infty}\text{-Faktor} \times V \text{ [mm]}$$

V = einwirkende Querlast

fischer Betonschraube UltraCut FBS II, FBS II CP, FBS II R zur Verankerung im Mauerwerk

Leistung

Vollziegel Mz NF, Charakteristischer Widerstand unter Zug- und Querlast, Verschiebungen

Anhang C 3

Anhang 16 / 25

Vollziegel Mz, NF, EN 771-1:2011+A1:2015

Tabelle C4.1: Charakteristischer Widerstand eines Einzelankers unter Brandeinwirkung

| Schraubengröße | | 6 | 8 | 10 | |
|---|----------------------|-----------------|---------------|-----|-----|
| Charakt. Widerstand für Stahlversagen bei Zug- und Querbeanspruchung unter Brandeinwirkung | | | | | |
| $N_{Rk,s,fi} = V_{Rk,s,fi}$ | [kN] | R30 | 0,6 | 1,1 | 1,8 |
| | | R60 | 0,5 | 0,9 | 1,5 |
| | | R90 | 0,4 | 0,7 | 1,1 |
| | | R120 | 0,3 | 0,5 | 1,0 |
| Charakt. Biegemoment unter Brandbeanspruchung $M^0_{Rk,s,fi}$ | | | | | |
| $M^0_{Rk,s,fi}$ | [Nm] | R30 | 0,6 | 1,5 | 3,1 |
| | | R60 | 0,5 | 1,2 | 2,6 |
| | | R90 | 0,4 | 1,0 | 2,0 |
| | | R120 | 0,3 | 0,8 | 1,7 |
| Charakt. Widerstand für Herausziehen und örtliches Steinversagen unter Brandbeanspruchung | | | | | |
| Mittlere Druckfestigkeit / Mindestdruckfestigkeit Einzelstein ¹⁾ [N/mm ²] | [N/mm ²] | | ≥ 15/12 | | |
| $N_{Rk,b,fi} = N_{Rk,p,fi}$ | [kN] | R30 | 1,3 | | |
| | | R60 | 1,2 | | |
| | | R90 | 1,1 | | |
| | | R120 | 1,0 | | |
| Min. Randabstand | [mm] | $c_{min,fi}$ | 2 x h_{nom} | | |
| Charakteristischer Rand- und Achsabstand | | $c_{cr,fi}$ | 2 x h_{nom} | | |
| | | $s_{cr,fi}$ | 4 x h_{nom} | | |
| Abstand zu Fugen | | $c_{j\perp,fi}$ | ≥ 35 | | |
| | $c_{j\parallel,fi}$ | ≥ 40 | | | |

¹⁾ Die Druckfestigkeit eines Einzelsteins darf 80% der mittleren Druckfestigkeit nicht unterschreiten.

Tabelle C4.2: Charakteristischer Widerstand von Gruppen unter Brandeinwirkung

| Schraubengröße | | 6 | 8 | 10 | |
|---|------|--------------|---------------------|---------------------|---------------------|
| Charakt. Widerstand für Herausziehen und örtliches Steinversagen von Gruppen unter Brandeinwirkung | | | | | |
| $N^g_{Rk,fi} = N^g_{Rk,b,fi} = N^g_{Rk,p,fi}$ | [kN] | R30-R90 | 0,11 x $N^g_{Rk,b}$ | 0,14 x $N^g_{Rk,b}$ | 0,15 x $N^g_{Rk,b}$ |
| | | R120 | 0,09 x $N^g_{Rk,b}$ | 0,11 x $N^g_{Rk,b}$ | 0,12 x $N^g_{Rk,b}$ |
| Minimaler Rand- und Achsabstand | [mm] | $c_{min,fi}$ | 2 x h_{nom} | | |
| | | $s_{min,fi}$ | 107 | | |

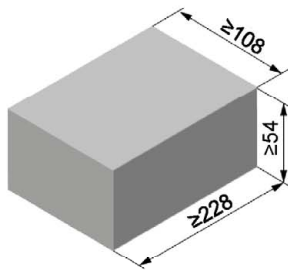
Eine Anwendung in der Fuge oder nahe der Fuge nach Tabelle C2.3 ist unter Brandbeanspruchung nicht zulässig.

fischer Betonschraube UltraCut FBS II, FBS II CP, FBS II R zur Verankerung im Mauerwerk

Leistung
Vollziegel Mz NF, Charakteristischer Widerstand unter Brandbeanspruchung

Anhang C 4
Anhang 17 / 25

Vollziegel Mz, nordic, EN 771-1:2011+A1:2015



| Vollziegel Mz, nordic, EN 771-1:2011+A1:2015 | | | |
|---|-----------------------|----------|--------|
| Hersteller | z. B.: Wienerberger | | |
| Nennmaße [mm] | Länge L | Breite B | Höhe H |
| | ≥ 228 | ≥ 108 | ≥ 54 |
| Dichte ρ [kg/dm ³] | ≥ 1,8 | | |
| Mittlere Druckfestigkeit / Mindestdruckfestigkeit Einzelstein ¹⁾ [N/mm ²] | ≥ 20/16 | | |
| Norm oder Anhang | EN 771-1:2011+A1:2015 | | |

¹⁾ Die Druckfestigkeit eines Einzelsteins darf 80% der mittleren Druckfestigkeit nicht unterschreiten

Tabelle C5.1: Montageparameter

| Schraubengröße | | | 6 | 8 | 10 |
|--|------------------------------|------|---------------|---------|---------|
| Allgemeine Montageparameter | | | | | |
| Nominelle Verankerungstiefe | h_{nom} | [mm] | ≥ 40 | ≥ 50 | ≥ 55 |
| Effektive Verankerungstiefe | h_{ef} | | ≥ 32 | ≥ 40 | ≥ 43 |
| Maximales Montagedrehmoment | $\max T_{inst}$ | [Nm] | 10 | 20 | 20 |
| Tangential - Schlagschrauber | $T_{imp,max}$ | | 80 | 80 | 80 |
| fischer Schlagschrauber FSS 18V 400 BL Stufe | | | Stufe 1 | Stufe 1 | Stufe 1 |
| Achs- und Randabstände | | | | | |
| Minimaler Abstand zum freien Rand | c_{min} | [mm] | 50 | 60 | 70 |
| Minimaler Achsabstand | $s_{min II} = s_{min \perp}$ | | 80 | 80 | 80 |
| Charakteristischer Rand- und Achsabstand | c_{cr} | | 1,5 h_{nom} | | |
| | $s_{cr II} = s_{cr \perp}$ | | 3 h_{nom} | | |
| Bohrverfahren | | | | | |
| Hammerbohren oder Drehbohren mit Standard-Hammerbohrer oder Hohlbohrer | | | | | |
| Drehbohren mit Standard-Hammerbohrer oder Hohlbohrer nur bei Randabstand < 1,5 h_{nom} | | | | | |

Tabelle C5.2: Gruppenfaktoren

| Schraubengröße | | | 6 | 8 | 10 |
|----------------|--|-----|------|------|------|
| Gruppenfaktor | $\alpha_{g,N}$ | [-] | 2,0 | 2,0 | 2,0 |
| | $\alpha_{g,V II} = \alpha_{g,V \perp}$ | | 1,75 | 1,75 | 1,75 |

Tabelle C5.3: Abminderungsfaktoren in Abhängigkeit zu Fugenabstand und Fugenbreite

| Schraubengröße | | | 6 | 8 | 10 | 6 | 8 | 10 |
|--------------------|--|------|--|------|-----|-------------------------|-----|-----|
| | | | Maximale Fugenbreite w_j | [mm] | > 3 | | | ≤ 3 |
| Abstand zu Fugen | $c_{j \perp}$ | [mm] | ≥ 10 | | | ≥ 10 | | |
| | $c_{j II}$ | | ≥ 40 | | | ≥ 40 | | |
| Abminderungsfaktor | $\alpha_{j,N}$ | [-] | 1 (volle Tragfähigkeit) | | | 1 (volle Tragfähigkeit) | | |
| | $\alpha_{j,V II} = \alpha_{j,V \perp}$ | | | | | | | |
| Abstand zu Fugen | $c_{j \perp}$ | [mm] | < 10 | | | < 10 | | |
| | $c_{j II}$ | | < 40 | | | < 40 | | |
| Abminderungsfaktor | $\alpha_{j,N}$ | [-] | 0 (Schraube darf nicht verwendet werden) | | | 0,5 | 0,5 | 0,5 |
| | $\alpha_{j,V II} = \alpha_{j,V \perp}$ | | | | | 0,3 | 0,3 | 0,3 |

fischer Betonschraube UltraCut FBS II, FBS II CP, FBS II R zur Verankerung im Mauerwerk

Leistung
Vollziegel Mz nordic, Abmessungen, Montageparameter, Abstände, Gruppenfaktoren und Abminderungsfaktoren für Fugen

Anhang C 5
Anhang 18 / 25

Vollziegel Mz, nordic, EN 771-1:2011+A1:2015

Tabelle C6.1: Charakteristischer Widerstand gegen Herausziehen eines Einzelankers oder Ausbruch des Mauersteins unter Zugbeanspruchung

| Schraubengröße | | 6 | 8 | 10 |
|--|-------------------|---|-----|-----|
| Charakt. Widerstand unter Zugbeanspruchung in Abhängigkeit der mittleren Druckfestigkeit des Steins | | | | |
| Mittlere Druckfestigkeit / Mindestdruckfestigkeit Einzelstein ¹⁾ [N/mm ²] | Nutzungskategorie | $N_{Rk} = N_{Rk,p} = N_{Rk,b} = N_{Rk,p,c} = N_{Rk,b,c}$ [kN] | | |
| ≥ 20/16 | Nass | 0,9 | 1,1 | 1,1 |
| | Trocken | 1,2 | 1,6 | 1,3 |
| ≥ 25/20 | Nass | 1,0 | 1,2 | 1,2 |
| | Trocken | 1,4 | 1,8 | 1,5 |
| ≥ 28/22,5 | Nass | 1,0 | 1,3 | 1,3 |
| | Trocken | 1,4 | 1,9 | 1,6 |

¹⁾ Die Druckfestigkeit eines Einzelsteins darf 80% der mittleren Druckfestigkeit nicht unterschreiten.

Tabelle C6.2: Charakteristischer Widerstand gegen örtliches Versagen / Kantenbruch des Mauersteins eines Einzelankers unter Querbeanspruchung

| Schraubengröße | | 6 | 8 | 10 | | | |
|---|-------------------|------------------|-----------------|------------------|-----------------|------------------|-----------------|
| Charakt. Widerstand unter Querbeanspruchung in Abhängigkeit der mittleren Druckfestigkeit des Steins | | | | | | | |
| Mittlere Druckfestigkeit / Mindestdruckfestigkeit Einzelstein ¹⁾ [N/mm ²] | Nutzungskategorie | $V_{Rk, }$ [kN] | $V_{Rk,⊥}$ [kN] | $V_{Rk, }$ [kN] | $V_{Rk,⊥}$ [kN] | $V_{Rk, }$ [kN] | $V_{Rk,⊥}$ [kN] |
| ≥ 20/16 | Nass oder Trocken | 1,1 | 0,8 | 4,7 | 1,4 | 4,3 | 2,4 |
| ≥ 25/20 | Nass oder Trocken | 1,3 | 0,9 | 5,2 | 1,6 | 4,8 | 2,7 |
| ≥ 28/22,5 | Nass oder Trocken | 1,4 | 1,0 | 5,6 | 1,7 | 5,1 | 2,9 |

¹⁾ Die Druckfestigkeit eines Einzelsteins darf 80% der mittleren Druckfestigkeit nicht unterschreiten.

Tabelle C6.3: Verschiebungen unter Zug- und Querbeanspruchung

| Size | | 6 | 8 | 10 | |
|---|----------------------------|-------------|-----|------|------|
| Verschiebungsfaktor unter Zugbeanspruchung | δ_{N0} -Faktor | [mm/ kN] | 0,1 | 0,15 | 0,2 |
| | $\delta_{N\infty}$ -Faktor | | 0,2 | 0,3 | 0,4 |
| Verschiebungsfaktor unter Querbeanspruchung | δ_{V0} -Faktor | | 1,0 | 0,75 | 0,5 |
| | $\delta_{V\infty}$ -Faktor | | 1,5 | 1,13 | 0,75 |

Berechnung der effektiven Verschiebung:

$$\delta_{N0} = \delta_{N0}\text{-Faktor} \times N \text{ [mm]}$$

$$\delta_{N\infty} = \delta_{N\infty}\text{-Faktor} \times N \text{ [mm]}$$

N = einwirkende Zuglast

$$\delta_{V0} = \delta_{V0}\text{-Faktor} \times V \text{ [mm]}$$

$$\delta_{V\infty} = \delta_{V\infty}\text{-Faktor} \times V \text{ [mm]}$$

V = einwirkende Querlast

fischer Betonschraube UltraCut FBS II, FBS II CP, FBS II R zur Verankerung im Mauerwerk

Leistung

Vollziegel Mz nordic, Charakteristischer Widerstand unter Zug- und Querlast, Verschiebungen

Anhang C 6

Anhang 19 / 25

Vollziegel Mz, nordic, EN 771-1:2011+A1:2015

Tabelle C7.1: Charakteristischer Widerstand eines Einzelankers unter Brandeinwirkung

| Schraubengröße | | 6 | 8 | 10 | |
|--|-----------------------|-------------------|--------------------|-----|-----|
| Charakt. Widerstand für Stahlversagen bei Zug- und Querbeanspruchung unter Brandeinwirkung | | | | | |
| $N_{Rk,s,fi} = V_{Rk,s,fi}$ | [kN] | R30 | 0,6 | 1,1 | 1,8 |
| | | R60 | 0,5 | 0,9 | 1,5 |
| | | R90 | 0,4 | 0,7 | 1,1 |
| | | R120 | 0,3 | 0,5 | 1,0 |
| Charakt. Biegemoment unter Brandbeanspruchung $M^0_{Rk,s,fi}$ | | | | | |
| $M^0_{Rk,s,fi}$ | [Nm] | R30 | 0,6 | 1,5 | 3,1 |
| | | R60 | 0,5 | 1,2 | 2,6 |
| | | R90 | 0,4 | 1,0 | 2,0 |
| | | R120 | 0,3 | 0,8 | 1,7 |
| Charakt. Widerstand für Herausziehen und örtliches Steinversagen unter Brandbeanspruchung ²⁾ | | | | | |
| Mittlere Druckfestigkeit / Mindestdruckfestigkeit Einzelstein ¹⁾ [N/mm ²] | [N/mm ²] | | ≥ 20/16 | | |
| $N_{Rk,b,fi} = N_{Rk,p,fi}$ | [kN] | R30 | 1,3 | | |
| | | R60 | 1,2 | | |
| | | R90 | 1,1 | | |
| | | R120 | 1,0 | | |
| Min. Randabstand | [mm] | $c_{min,fi}$ | $2 \times h_{nom}$ | | |
| Charakteristischer Rand- und Achsabstand | | $c_{cr,fi}$ | $2 \times h_{nom}$ | | |
| | | $s_{cr,fi}$ | $4 \times h_{nom}$ | | |
| Abstand zu Fugen | | $c_{j \perp, fi}$ | ≥ 35 | | |
| | $c_{j \parallel, fi}$ | ≥ 40 | | | |

¹⁾ Die Druckfestigkeit eines Einzelsteins darf 80% der mittleren Druckfestigkeit nicht unterschreiten.

²⁾ Nur anwendbar für Steinhöhen $H \geq 70$

Tabelle C7.2: Charakteristischer Widerstand von Gruppen unter Brandeinwirkung

| Schraubengröße | | 6 | 8 | 10 | |
|---|------|--------------|--------------------------|--------------------------|--------------------------|
| Charakt. Widerstand für Herausziehen und örtliches Steinversagen von Gruppen unter Brandeinwirkung | | | | | |
| $N^g_{Rk,fi} = N^g_{Rk,b,fi} = N^g_{Rk,p,fi}$ | [kN] | R30-R90 | $0,11 \times N^g_{Rk,b}$ | $0,14 \times N^g_{Rk,b}$ | $0,15 \times N^g_{Rk,b}$ |
| | | R120 | $0,09 \times N^g_{Rk,b}$ | $0,11 \times N^g_{Rk,b}$ | $0,12 \times N^g_{Rk,b}$ |
| Minimaler Rand- und Achsabstand | [mm] | $c_{min,fi}$ | $2 \times h_{nom}$ | | |
| | | $s_{min,fi}$ | 107 | | |

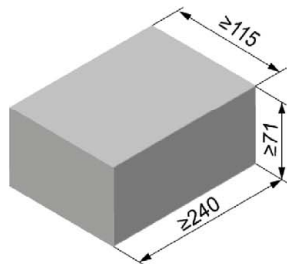
Eine Anwendung in der Fuge oder nahe der Fuge nach Tabelle C5.3 ist unter Brandbeanspruchung nicht zulässig.

fischer Betonschraube UltraCut FBS II, FBS II CP, FBS II R zur Verankerung im Mauerwerk

Leistung
Vollziegel Mz nordic, Charakteristischer Widerstand unter Brandbeanspruchung

Anhang C 7
Anhang 20 / 25

Kalksandvollstein KS, NF, EN 771-2:2011+A1:2015



| Kalksandvollstein KS, NF, EN 771-2:2011+A1:2015 | | | |
|---|-----------------------|--|----------|
| Hersteller | | z. B.: KS Wemding | |
| Nennmaße | [mm] | Länge L | Breite B |
| | | ≥ 240 | ≥ 115 |
| Dichte ρ | [kg/dm ³] | ≥ 1,8 | |
| | | Mittlere Druckfestigkeit / Mindestdruckfestigkeit Einzelstein ¹⁾ [N/mm ²] | |
| | | ≥ 15/12 | |
| Norm oder Anhang | | EN 771-2:2011+A1:2015 | |

¹⁾ Die Druckfestigkeit eines Einzelsteins darf 80% der mittleren Druckfestigkeit nicht unterschreiten

Tabelle C8.1: Montageparameter

| Schraubengröße | | 6 | 8 | 10 | |
|--|------------------------------|------|---------------|---------|---------|
| Allgemeine Montageparameter | | | | | |
| Nominelle Verankerungstiefe | h_{nom} | [mm] | ≥ 40 | ≥ 50 | ≥ 55 |
| Effektive Verankerungstiefe | h_{ef} | | ≥ 32 | ≥ 40 | ≥ 43 |
| Maximales Montagedrehmoment | $\max T_{inst}$ | [Nm] | 10 | 20 | 20 |
| Tangential - Schlagschrauber | $T_{imp,max}$ | | 80 | 80 | 80 |
| fischer Schlagschrauber FSS 18V 400 BL Stufe | | [-] | Stufe 1 | Stufe 1 | Stufe 1 |
| Achs- und Randabstände | | | | | |
| Minimaler Abstand zum freien Rand | c_{min} | [mm] | 50 | 60 | 70 |
| Minimaler Achsabstand | $s_{min II} = s_{min \perp}$ | | 80 | 80 | 80 |
| Charakteristischer Rand- und Achsabstand | c_{cr} | | 1,5 h_{nom} | | |
| | $s_{cr II} = s_{cr \perp}$ | | 3 h_{nom} | | |
| Bohrverfahren | | | | | |
| Hammerbohren oder Drehbohren mit Standard-Hammerbohrer oder Hohlbohrer | | | | | |

Tabelle C8.2: Gruppenfaktoren

| Schraubengröße | | 6 | 8 | 10 | |
|----------------|--|-----|------|------|------|
| Gruppenfaktor | $\alpha_{g,N}$ | [-] | 1,75 | 1,75 | 1,75 |
| | $\alpha_{g,V II} = \alpha_{g,V \perp}$ | | 1,85 | 1,85 | 1,85 |

Tabelle C8.3: Abminderungsfaktoren in Abhängigkeit zu Fugenabstand und Fugenbreite

| Schraubengröße | | 6 | 8 | 10 | 6 | 8 | 10 |
|----------------------|--|--|---|----|-------------------------|---|----|
| Maximale Fugenbreite | w_j | [mm] | | | [mm] | | |
| | | > 3 | | | ≤ 3 | | |
| Abstand zu Fugen | $c_{j \perp}$ | [mm] | | | [mm] | | |
| | $c_{j II}$ | ≥ 10 | | | ≥ 10 | | |
| Abminderungsfaktor | $\alpha_{j,N}$ | [-] | | | [-] | | |
| | $\alpha_{j,V II} = \alpha_{j,V \perp}$ | 1 (volle Tragfähigkeit) | | | 1 (volle Tragfähigkeit) | | |
| Abstand zu Fugen | $c_{j \perp}$ | [mm] | | | [mm] | | |
| | $c_{j II}$ | < 10 | | | < 10 | | |
| Abminderungsfaktor | $\alpha_{j,N}$ | [-] | | | [-] | | |
| | $\alpha_{j,V II} = \alpha_{j,V \perp}$ | 0 (Schraube darf nicht verwendet werden) | | | 0,7 | | |

fischer Betonschraube UltraCut FBS II, FBS II CP, FBS II R zur Verankerung im Mauerwerk

Leistung
Kalksandvollstein KS NF, Abmessungen, Montageparameter, Abstände, Gruppenfaktoren und Abminderungsfaktoren für Fugen

Anhang C 8
Anhang 21 / 25

Kalksandvollstein KS, NF, EN 771-2:2011+A1:2015

Tabelle C9.1: Charakteristischer Widerstand gegen Herausziehen eines Einzelankers oder Ausbruch des Mauersteins unter Zugbeanspruchung

| Schraubengröße | | 6 | 8 | 10 |
|--|-------------------|---|-----|-----|
| Charakt. Widerstand unter Zugbeanspruchung in Abhängigkeit der mittleren Druckfestigkeit des Steins | | | | |
| Mittlere Druckfestigkeit / Mindestdruckfestigkeit Einzelstein ¹⁾ [N/mm ²] | Nutzungskategorie | $N_{RK} = N_{RK,p} = N_{RK,b} = N_{RK,p,c} = N_{RK,b,c}$ [kN] | | |
| ≥ 15/12 | Nass | 1,3 | 1,8 | 1,9 |
| | Trocken | 1,5 | 1,9 | 1,9 |
| ≥ 20/16 | Nass | 1,4 | 2,0 | 2,1 |
| | Trocken | 1,7 | 2,1 | 2,2 |
| ≥ 25/20 | Nass | 1,6 | 2,2 | 2,3 |
| | Trocken | 1,9 | 2,4 | 2,4 |
| ≥ 28/22,5 | Nass | 1,7 | 2,3 | 2,5 |
| | Trocken | 2,0 | 2,5 | 2,6 |

¹⁾ Die Druckfestigkeit eines Einzelsteins darf 80% der mittleren Druckfestigkeit nicht unterschreiten.

Tabelle C9.2: Charakteristischer Widerstand gegen örtliches Versagen oder Kantenbruch des Mauersteins eines Einzelankers unter Querbeanspruchung

| Schraubengröße | | 6 | 8 | 10 | | | |
|---|-------------------|------------------|-----------------|------------------|-----------------|------------------|-----------------|
| Charakt. Widerstand unter Querbeanspruchung in Abhängigkeit der mittleren Druckfestigkeit des Steins | | | | | | | |
| Mittlere Druckfestigkeit / Mindestdruckfestigkeit Einzelstein ¹⁾ [N/mm ²] | Nutzungskategorie | $V_{RK, }$ [kN] | $V_{RK,⊥}$ [kN] | $V_{RK, }$ [kN] | $V_{RK,⊥}$ [kN] | $V_{RK, }$ [kN] | $V_{RK,⊥}$ [kN] |
| ≥ 15/12 | Nass oder Trocken | 1,8 | 0,8 | 2,3 | 1,5 | 3,1 | 1,0 |
| ≥ 20/16 | Nass oder Trocken | 2,1 | 0,9 | 2,6 | 1,7 | 3,5 | 1,2 |
| ≥ 25/20 | Nass oder Trocken | 2,3 | 1,0 | 2,9 | 1,9 | 3,9 | 1,3 |
| ≥ 28/22,5 | Nass oder Trocken | 2,4 | 1,0 | 3,0 | 2,0 | 4,1 | 1,4 |

¹⁾ Die Druckfestigkeit eines Einzelsteins darf 80% der mittleren Druckfestigkeit nicht unterschreiten.

Tabelle C9.3: Verschiebungen unter Zug- und Querbeanspruchung

| Schraubengröße | | 6 | 8 | 10 | |
|---|----------------------------|-------------|------|-----|------|
| Verschiebungsfaktor unter Zugbeanspruchung | δ_{N0} -Faktor | [mm/ kN] | 0,2 | 0,2 | 0,15 |
| | $\delta_{N\infty}$ -Faktor | | 0,4 | 0,4 | 0,3 |
| Verschiebungsfaktor unter Querbeanspruchung | δ_{V0} -Faktor | | 4,5 | 2,0 | 1,25 |
| | $\delta_{V\infty}$ -Faktor | | 6,75 | 3,0 | 1,88 |

Berechnung der effektiven Verschiebung:

$$\delta_{N0} = \delta_{N0}\text{-Faktor} \times N \text{ [mm]}$$

$$\delta_{N\infty} = \delta_{N\infty}\text{-Faktor} \times N \text{ [mm]}$$

N = einwirkende Zuglast

$$\delta_{V0} = \delta_{V0}\text{-Faktor} \times V \text{ [mm]}$$

$$\delta_{V\infty} = \delta_{V\infty}\text{-Faktor} \times V \text{ [mm]}$$

V = einwirkende Querlast

fischer Betonschraube UltraCut FBS II, FBS II CP, FBS II R zur Verankerung im Mauerwerk

Leistung

Kalksandvollstein KS NF, Charakteristischer Widerstand unter Zug- und Querlast, Verschiebungen

Anhang C 9

Anhang 22 / 25

Kalksandvollstein KS, NF, EN 771-2:2011+A1:2015

Tabelle C10.1: Charakteristischer Widerstand eines Einzelankers unter Brandeinwirkung

| Schraubengröße | | 6 | 8 | 10 | |
|--|-----------------------|-------------------|--------------------|-----|-----|
| Charakt. Widerstand für Stahlversagen bei Zug- und Querbeanspruchung unter Brandeinwirkung | | | | | |
| $N_{Rk,s,fi} = V_{Rk,s,fi}$ | [kN] | R30 | 0,6 | 1,1 | 1,8 |
| | | R60 | 0,5 | 0,9 | 1,5 |
| | | R90 | 0,4 | 0,7 | 1,1 |
| | | R120 | 0,3 | 0,5 | 1,0 |
| Charakt. Biegemoment unter Brandbeanspruchung $M_{0Rk,s,fi}$ | | | | | |
| $M_{0Rk,s,fi}^0$ | [Nm] | R30 | 0,6 | 1,5 | 3,1 |
| | | R60 | 0,5 | 1,2 | 2,6 |
| | | R90 | 0,4 | 1,0 | 2,0 |
| | | R120 | 0,3 | 0,8 | 1,7 |
| Charakt. Widerstand für Herausziehen und örtliches Steinversagen unter Brandbeanspruchung | | | | | |
| Mittlere Druckfestigkeit / Mindestdruckfestigkeit Einzelstein ¹⁾ [N/mm ²] | [N/mm ²] | | ≥ 15/12 | | |
| $N_{Rk,b,fi} = N_{Rk,p,fi}$ | [kN] | R30 | 1,3 | | |
| | | R60 | 1,2 | | |
| | | R90 | 1,1 | | |
| | | R120 | 1,0 | | |
| Min. Randabstand | [mm] | $c_{min,fi}$ | $2 \times h_{nom}$ | | |
| Charakteristischer Rand- und Achsabstand | | $c_{cr,fi}$ | $2 \times h_{nom}$ | | |
| | | $s_{cr,fi}$ | $4 \times h_{nom}$ | | |
| Abstand zu Fugen | | $c_{j \perp, fi}$ | ≥ 35 | | |
| | $c_{j \parallel, fi}$ | ≥ 40 | | | |

¹⁾ Die Druckfestigkeit eines Einzelsteins darf 80% der mittleren Druckfestigkeit nicht unterschreiten.

Tabelle C10.2: Charakteristischer Widerstand von Gruppen unter Brandeinwirkung

| Schraubengröße | | 6 | 8 | 10 | |
|---|------|--------------|--------------------------|--------------------------|--------------------------|
| Charakt. Widerstand für Herausziehen und örtliches Steinversagen von Gruppen unter Brandeinwirkung | | | | | |
| $N_{Rk,fi}^g = N_{Rk,b,fi}^g = N_{Rk,p,fi}^g$ | [kN] | R30-R90 | $0,11 \times N_{Rk,b}^g$ | $0,14 \times N_{Rk,b}^g$ | $0,15 \times N_{Rk,b}^g$ |
| | | R120 | $0,09 \times N_{Rk,b}^g$ | $0,11 \times N_{Rk,b}^g$ | $0,12 \times N_{Rk,b}^g$ |
| Minimaler Rand- und Achsabstand | [mm] | $c_{min,fi}$ | $2 \times h_{nom}$ | | |
| | | $s_{min,fi}$ | 107 | | |

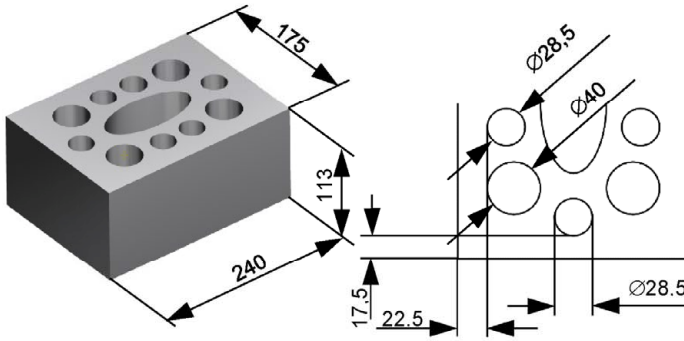
Eine Anwendung in der Fuge oder nahe der Fuge nach Tabelle C8.3 ist unter Brandbeanspruchung nicht zulässig.

fischer Betonschraube UltraCut FBS II, FBS II CP, FBS II R
zur Verankerung im Mauerwerk

Leistung
Kalksandvollstein KS NF, Charakteristischer Widerstand unter Brandbeanspruchung

Anhang C 10
Anhang 23 / 25

Kalksandlochstein KSL, 3DF, EN 771-2:2011+A1:2015



| Kalksandlochstein KS, 3DF, EN 771-2:2011+A1:2015 | | | |
|--|--------------------------|----------|--------|
| Hersteller | z.B.: KS H+H Durmersheim | | |
| Nennmaße [mm] | Länge L | Breite B | Höhe H |
| | 240 | 175 | 113 |
| Dichte ρ [kg/dm ³] | ≥ 1,4 | | |
| Mittlere Druckfestigkeit / Mindestdruckfestigkeit Einzelstein ¹⁾ [N/mm ²] | ≥ 15/12 | | |
| Norm oder Anhang | EN 771-2:2011+A1:2015 | | |

¹⁾ Die Druckfestigkeit eines Einzelsteins darf 80% der mittleren Druckfestigkeit nicht unterschreiten

Tabelle C11.1: Montageparameter

| Schraubengröße | | | 6 | 8 | 10 |
|--|---------------------------------------|------|---------------------------------------|---------|---------|
| Allgemeine Montageparameter | | | | | |
| Nominelle Verankerungstiefe | h_{nom} | [mm] | ≥ 40 | ≥ 50 | ≥ 55 |
| Effektive Verankerungstiefe | h_{ef} | | ≥ 32 | ≥ 40 | ≥ 43 |
| Maximales Montagedrehmoment | $\max T_{inst}$ | [Nm] | 3 | 4 | 8 |
| Tangential - Schlagschrauber | $T_{imp,max}$ | | 65 | 65 | 65 |
| fischer Schlagschrauber FSS 18V 400 BL Stufe | | [-] | Stufe 1 | Stufe 1 | Stufe 1 |
| Achs- und Randabstände | | | | | |
| Minimaler Abstand zum freien Rand | c_{min} | [mm] | 50 | 60 | 70 |
| Minimaler Achsabstand | $s_{min II} = s_{min \perp}$ | | 80 | 80 | 80 |
| Charakteristischer Rand- und Achsabstand | c_{cr} $s_{cr II}; s_{cr \perp}$ | | 1,5 h_{nom} $l_{unit}; h_{unit}$ | | |
| Bohrverfahren | | | | | |
| Hammerbohren oder Drehbohren mit Standard-Hammerbohrer oder Hohlbohrer | | | | | |

Tabelle C11.2: Gruppenfaktoren

| Schraubengröße | | | 6 | 8 | 10 |
|----------------|--|-----|------|------|------|
| Gruppenfaktor | $\alpha_{g,N}$ | [-] | 2,0 | 2,0 | 2,0 |
| | $\alpha_{g,V II} = \alpha_{g,V \perp}$ | | 1,35 | 1,35 | 1,35 |

Tabelle C11.3: Abminderungsfaktoren in Abhängigkeit zu Fugenabstand und Fugenbreite

| Schraubengröße | | | 6 | 8 | 10 | 6 | 8 | 10 |
|----------------------|---|------|--|---|----|-------------------------|---|----|
| Maximale Fugenbreite | w_j | [mm] | > 3 | | | ≤ 3 | | |
| Abstand zu Fugen | $c_{j \perp}$ | [mm] | ≥ 10 | | | ≥ 10 | | |
| | $c_{j II}$ | | ≥ 40 | | | ≥ 40 | | |
| Abminderungsfaktor | $\frac{\alpha_{j,N}}{\alpha_{j,V II} = \alpha_{j,V \perp}}$ | [-] | 1 (volle Tragfähigkeit) | | | 1 (volle Tragfähigkeit) | | |
| Abstand zu Fugen | $c_{j \perp}$ | [mm] | < 10 | | | < 10 | | |
| | $c_{j II}$ | | < 40 | | | < 40 | | |
| Abminderungsfaktor | $\frac{\alpha_{j,N}}{\alpha_{j,V II} = \alpha_{j,V \perp}}$ | [-] | 0 (Schraube darf nicht verwendet werden) | | | 0,8 0,6 | | |

fischer Betonschraube UltraCut FBS II, FBS II CP, FBS II R zur Verankerung im Mauerwerk

Leistung
Vollziegel Mz NF, Abmessungen, Montageparameter, Abstände, Gruppenfaktoren und Abminderungsfaktoren für Fugen

Anhang C 11
Anhang 24 / 25

Kalksandlochstein KSL, 3DF, EN 771-2:2011+A1:2015

Tabelle C12.1: Charakteristischer Widerstand gegen Herausziehen eines Einzelankers oder Ausbruch des Mauersteins unter Zugbeanspruchung

| Schraubengröße | | 6 | 8 | 10 |
|--|-------------------|---|-----|-----|
| Charakt. Widerstand unter Zugbeanspruchung in Abhängigkeit der mittleren Druckfestigkeit des Steins | | | | |
| Mittlere Druckfestigkeit / Mindestdruckfestigkeit Einzelstein ¹⁾ [N/mm ²] | Nutzungskategorie | $N_{Rk} = N_{Rk,p} = N_{Rk,b} = N_{Rk,p,c} = N_{Rk,b,c}$ [kN] | | |
| ≥ 12/10 | Nass | 0,3 | 0,8 | 0,8 |
| | Trocken | 0,3 | 0,9 | 0,8 |
| ≥ 15/12 | Nass | 0,4 | 0,9 | 0,9 |
| | Trocken | 0,4 | 1,0 | 0,9 |
| ≥ 20/16 | Nass | 0,5 | 1,2 | 1,2 |
| | Trocken | 0,5 | 1,3 | 1,2 |
| ≥ 22/17,5 | Nass | 0,6 | 1,3 | 1,3 |
| | Trocken | 0,6 | 1,4 | 1,3 |

¹⁾ Die Druckfestigkeit eines Einzelsteins darf 80% der mittleren Druckfestigkeit nicht unterschreiten.

Tabelle C12.2: Charakteristischer Widerstand gegen örtliches Versagen oder Kantenbruch des Mauersteins eines Einzelankers unter Querbeanspruchung

| Schraubengröße | | 6 | 8 | 10 | | | |
|---|-------------------|------------------|-----------------|------------------|-----------------|------------------|-----------------|
| Charakt. Widerstand unter Querbeanspruchung in Abhängigkeit der mittleren Druckfestigkeit des Steins | | | | | | | |
| Mittlere Druckfestigkeit / Mindestdruckfestigkeit Einzelstein ¹⁾ [N/mm ²] | Nutzungskategorie | $V_{Rk, }$ [kN] | $V_{Rk,⊥}$ [kN] | $V_{Rk, }$ [kN] | $V_{Rk,⊥}$ [kN] | $V_{Rk, }$ [kN] | $V_{Rk,⊥}$ [kN] |
| ≥ 12/10 | Nass oder Trocken | 2,8 | 1,6 | 2,3 | 1,8 | 2,7 | 1,3 |
| ≥ 15/12 | Nass oder Trocken | 3,3 | 1,9 | 3,6 | 2,0 | 4,3 | 2,0 |
| ≥ 20/16 | Nass oder Trocken | 4,1 | 2,3 | 4,9 | 2,3 | 5,8 | 2,7 |
| ≥ 22/17,5 | Nass oder Trocken | 4,4 | 2,5 | 5,2 | 2,4 | 6,2 | 2,9 |

Widerstand gegen kombinierte Zug- und Scherbelastung (Hohl- und Lochziegel)

| | | | |
|---------------------------|---|-----|-----|
| Grenzwert für Interaktion | X | [-] | 1,3 |
|---------------------------|---|-----|-----|

¹⁾ Die Druckfestigkeit eines Einzelsteins darf 80% der mittleren Druckfestigkeit nicht unterschreiten.

Tabelle C12.3: Verschiebungen unter Zug- und Querbeanspruchung

| Schraubengröße | | 6 | 8 | 10 | |
|---|----------------------------|-------------|------|-----|-----|
| Verschiebungsfaktor unter Zugbeanspruchung | δ_{N0} -Faktor | [mm/ kN] | 0,2 | 0,2 | 0,3 |
| | $\delta_{N\infty}$ -Faktor | | 0,4 | 0,4 | 0,6 |
| Verschiebungsfaktor unter Querbeanspruchung | δ_{V0} -Faktor | | 1,25 | 1,0 | 1,0 |
| | $\delta_{V\infty}$ -Faktor | | 1,88 | 1,5 | 1,5 |

Berechnung der effektiven Verschiebung:

$$\delta_{N0} = \delta_{N0}\text{-Faktor} \times N \text{ [mm]}$$

$$\delta_{N\infty} = \delta_{N\infty}\text{-Faktor} \times N \text{ [mm]}$$

N = einwirkende Zuglast

$$\delta_{V0} = \delta_{V0}\text{-Faktor} \times V \text{ [mm]}$$

$$\delta_{V\infty} = \delta_{V\infty}\text{-Faktor} \times V \text{ [mm]}$$

V = einwirkende Querlast

fischer Betonschraube UltraCut FBS II, FBS II CP, FBS II R zur Verankerung im Mauerwerk

Leistung
Kalksandlochstein KSL 3DF, Charakteristischer Widerstand unter Zug- und Querlast, Verschiebungen

Anhang C 12

Anhang 25 / 25